

太陽圏システムと地球の気候/気象

宮原 ひろ子

Hiroko MIYAHARA,

Institute for Cosmic Ray Research,
The University of Tokyo, Japan

hmiya@icrr.u-tokyo.ac.jp

Collaborators

Yusuke Yokoyama (AORI, The Univ. of Tokyo)

Yasuhiko T. Yamaguchi (AORI, The Univ. of Tokyo)

Takeshi Nakatsuka (Nagoya University)

Hong K. Peng (The Univ. of Tokyo)

Yukihiro Takahashi (Hokkaido University)

Mitsuteru Sato (Hokkaido University)

Hiroyuki Matsuzaki (MALT, The Univ. of Tokyo)

Fuyuki Tokanai (Yamagata Univ)

Yosuke Yamashiki (Kyoto Univ)

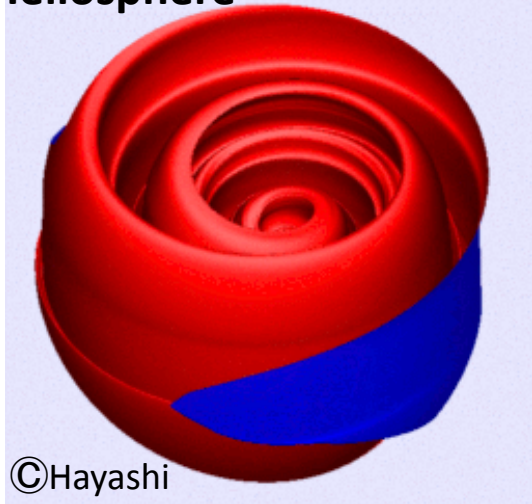
Shuhei Masuda (Jamstec)

John P. Matthews (Kyushu Univ)

Kazuki Munakata (Shinshu Univ)

Ryuho Kataoka (Tokyo Tech)

Heliosphere



©Hayashi

<http://sun.stanford.edu/~keiji/gallery11.html>

太陽活動と気候をとりまく諸問題

- ・太陽の放射強制力

太陽活動の長期変動にともなう総放射・スペクトル放射の絶対値、変動幅(daily~millennial)
(気候モデルのvalidationへの影響)

- ・太陽活動が気候変動に影響するメカニズム

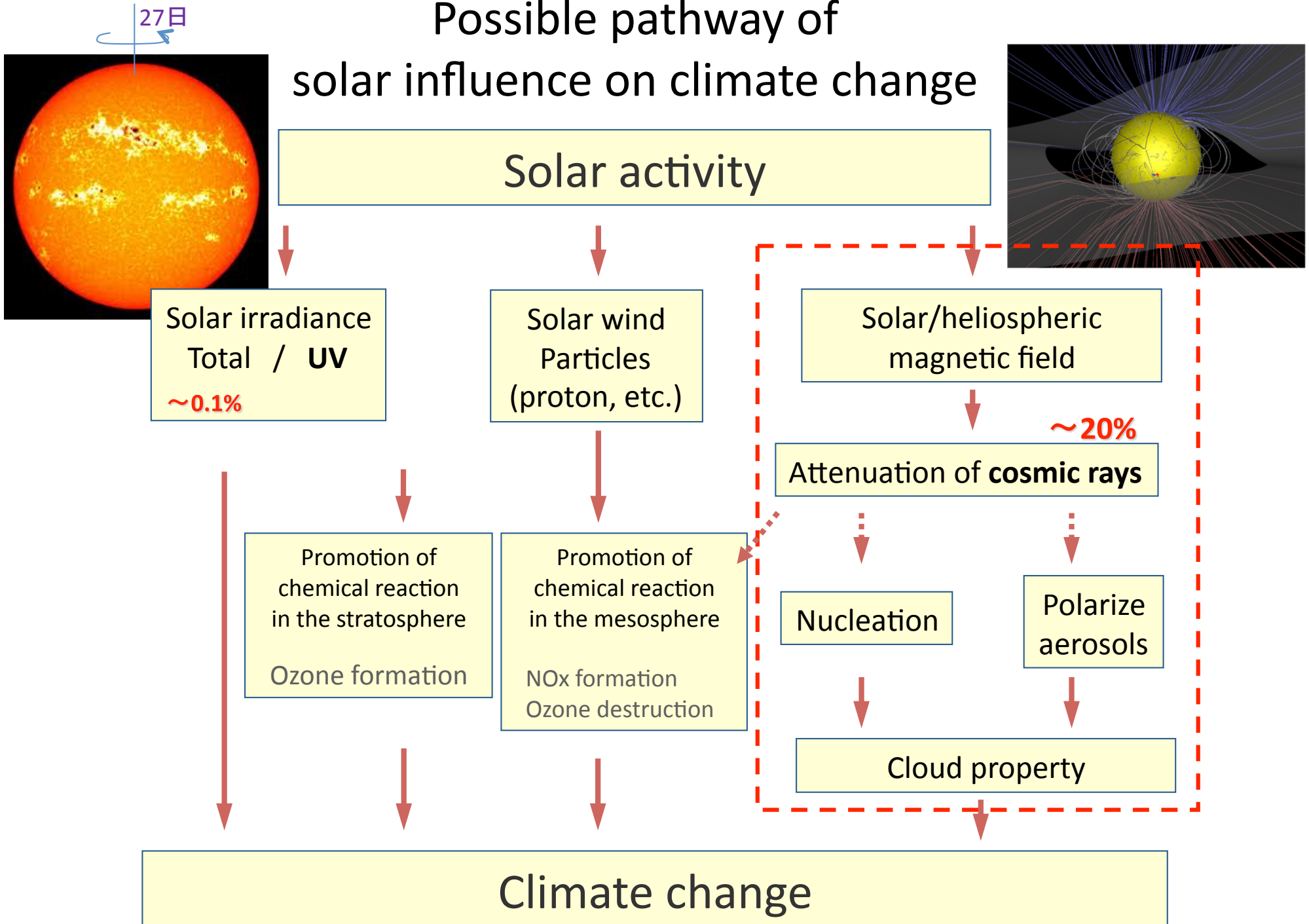
日射、スペクトル放射、太陽風、**宇宙線**(太陽圏磁場による減衰)

宇宙現象、地磁気強度変動と
古気候との相関からも重要性が示唆されている

- ・太陽ダイナモ物理

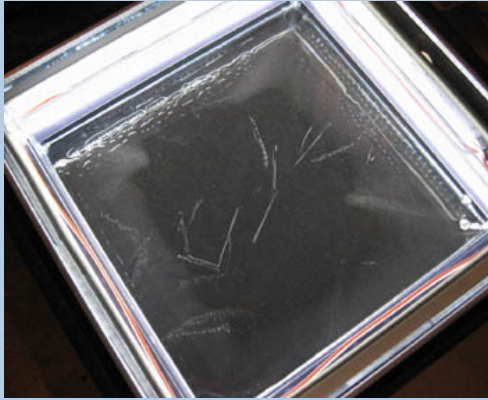
11年変動、長期変動(88年周期、208年周期、1000年周期)
27日周期の黒点・太陽フレア予測
(最終的には、活動予測→気候予測モデルへのインプット)

Possible pathway of solar influence on climate change



Possible mechanisms

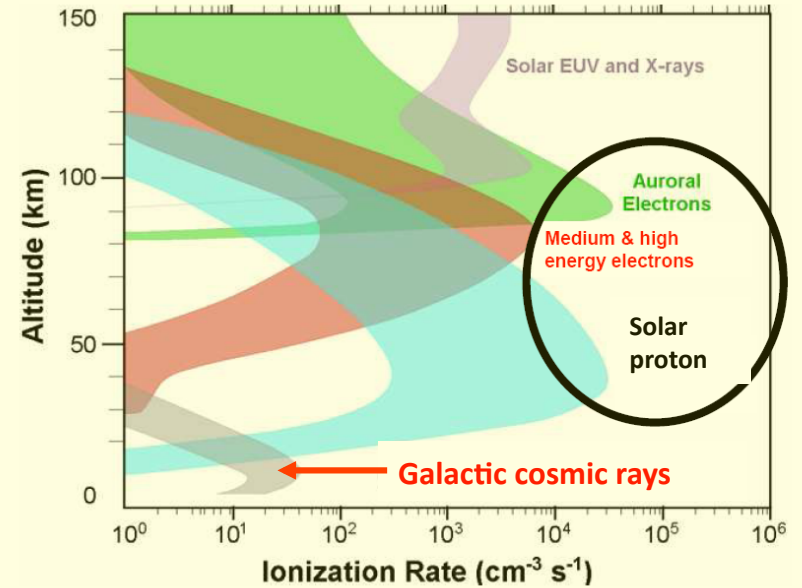
1. Nucleation



Formation of Cloud Condensation Nuclei

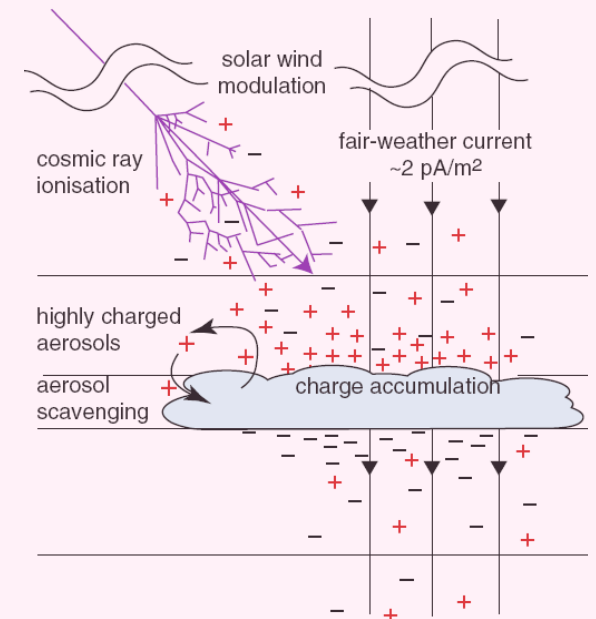
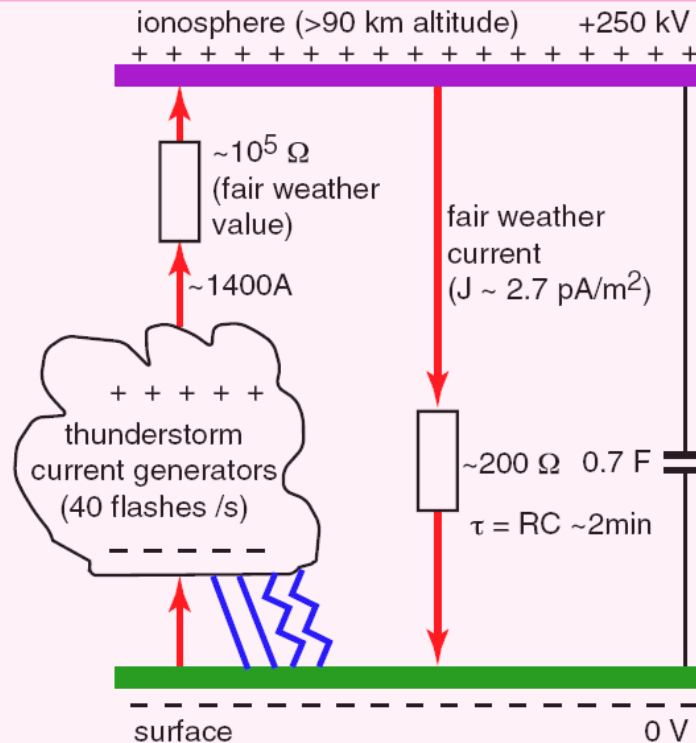
2. NO_x formation

Energetic Particle Precipitation



3. Coagulation

collision efficiency of aerosol particles



詳細な物理&定量的な議論は 今後の課題

Kirkby, Nature, 2011

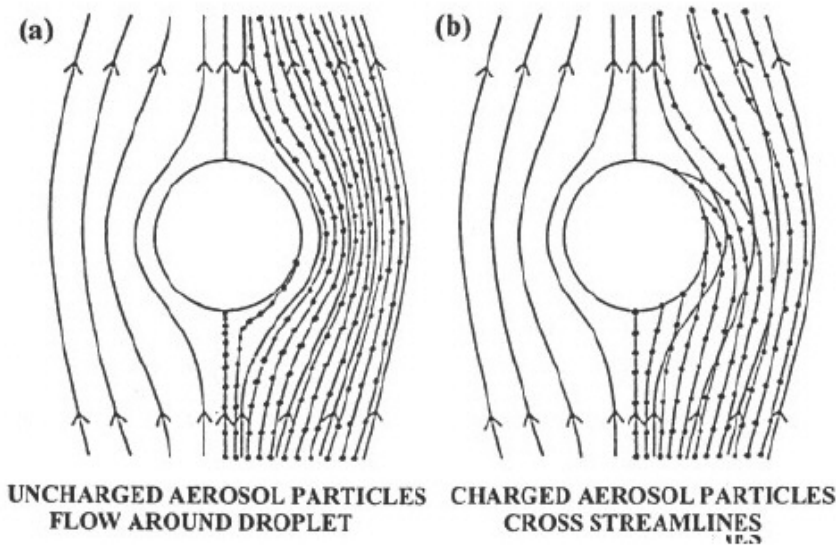


Figure 5.3. (a) Schematic of aerosol flow around a falling droplet in the absence of electrical forces. (b) Schematic of effect of electrical forces in moving aerosol particles across streamlines.

Tinsley 1996

Tinsley & Yu 2006

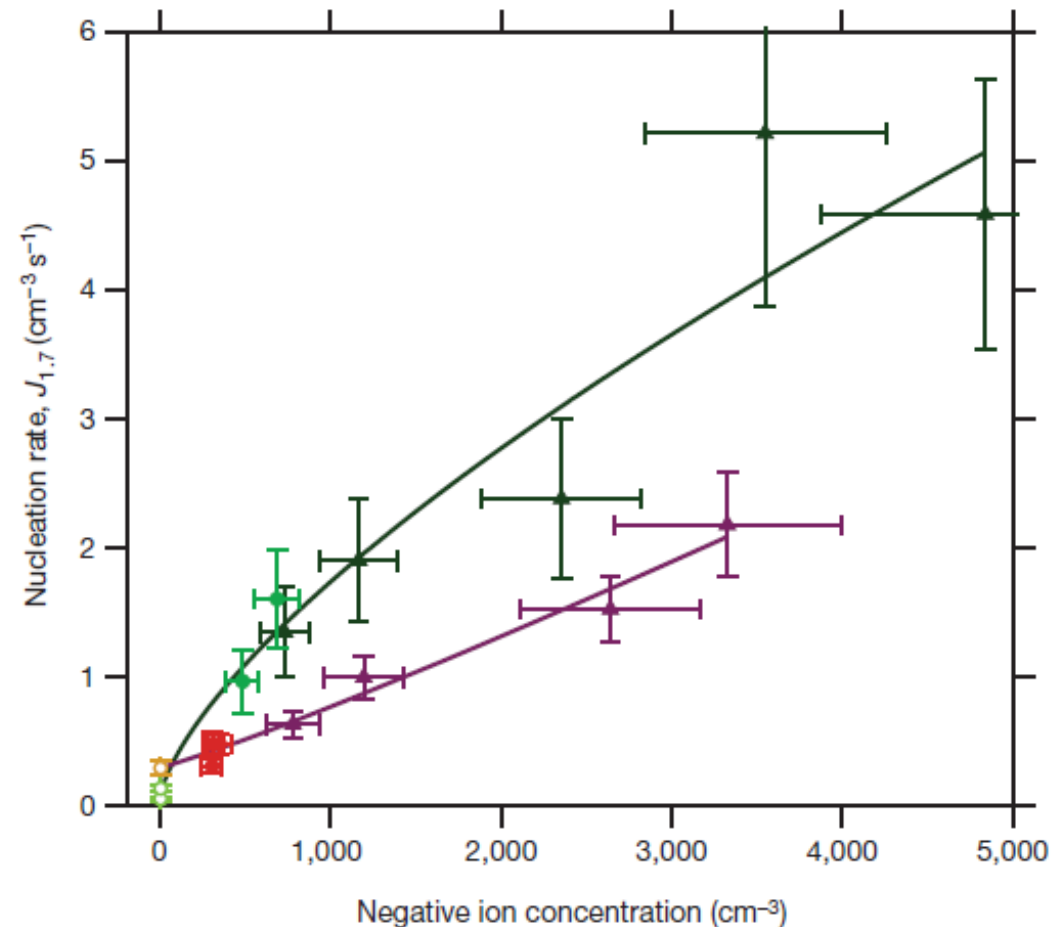
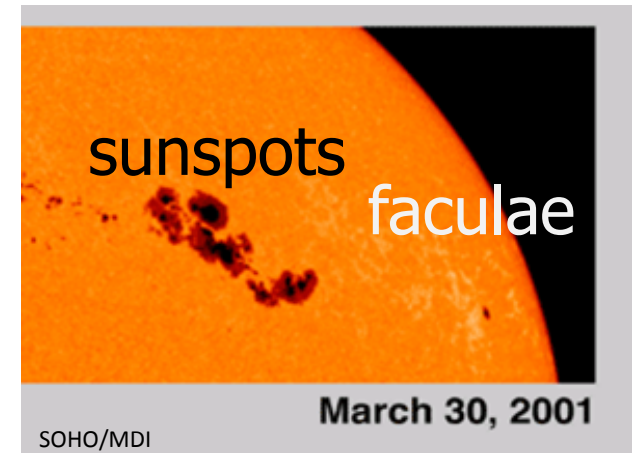
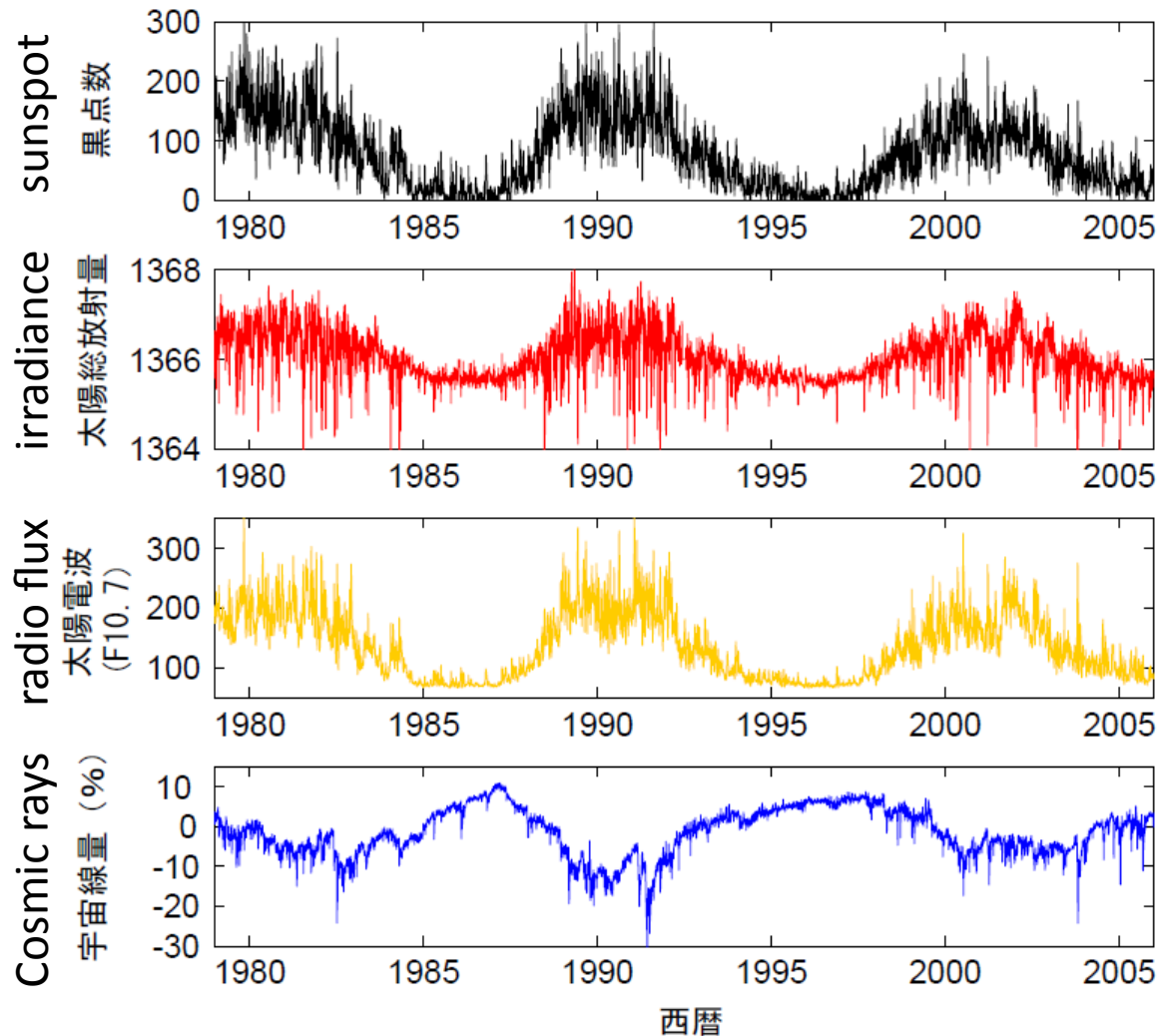


Figure 2 | Plots of nucleation rate against negative ion concentration. Nucleation rates as a function of negative ion concentration at 292 K and $[\text{H}_2\text{SO}_4] = 4.5 \times 10^8 \text{ cm}^{-3}$ (purple line), and at 278 K and $[\text{H}_2\text{SO}_4] = 1.5 \times 10^8 \text{ cm}^{-3}$ (green line). Triangles, J_{ch} ; filled circles, J_{gcr} ; open circles, J_{n} . All measurements were made at 38% relative humidity and 35 p.p.t.v. NH_3 . Neutral nucleation rates, J_{n} , were effectively measured at zero ion pair concentration (ion or charged-cluster lifetime < 1 s). The curves are fits of the form $J = j_0 + k[\text{ion}^-]^p$, where j_0 , k and p are free parameters. The error bars indicate only the point-to-point 1σ errors; the nucleation rates and ion concentrations each have estimated overall scale uncertainties of $\pm 30\%$.

Eleven-year variation in solar related parameters



現代においては、いずれも同期しており影響の区別をつけにくい → より長期的な変動の理解、古気候との比較

Contents

太陽圏の磁場構造と宇宙線の22年周期変動

マウンダー極小期(西暦1645-1715年)における
宇宙線変動と気候変動

宇宙線の27日周期変動と赤道熱帯域の雲活動

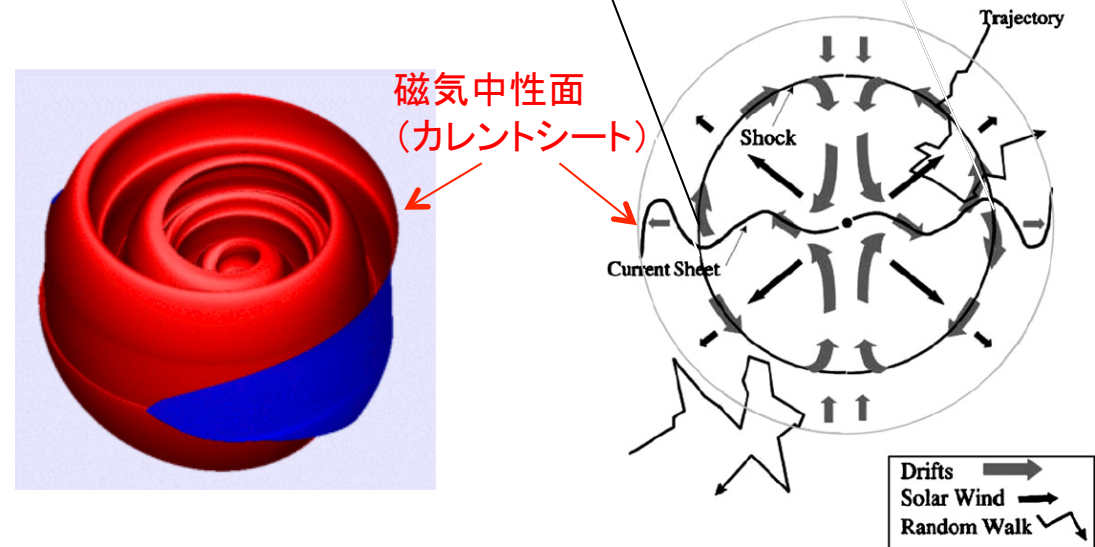
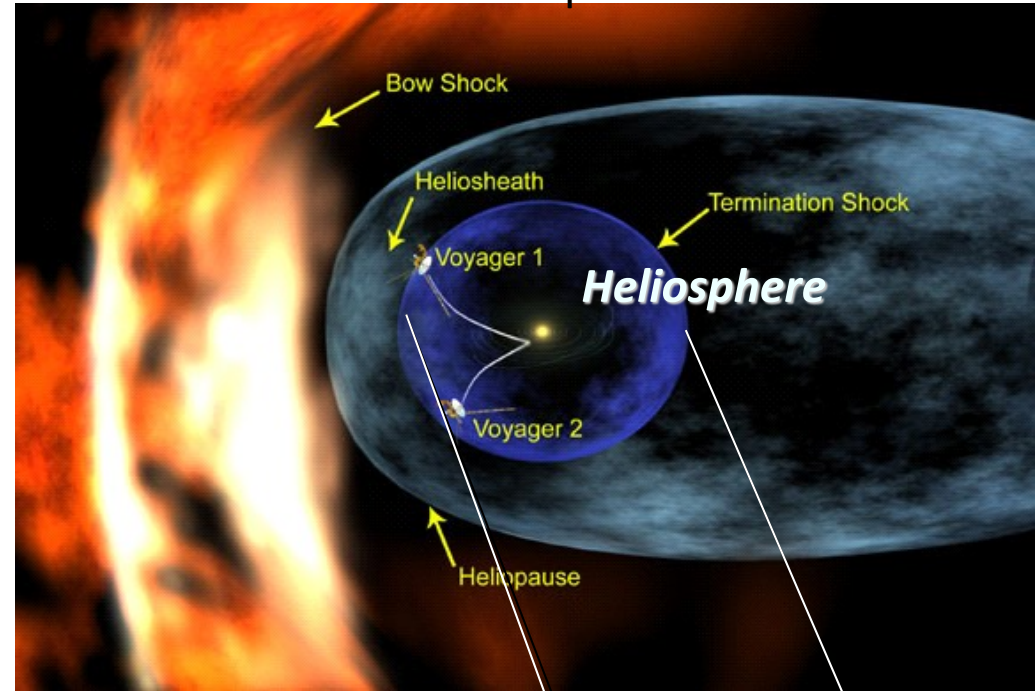
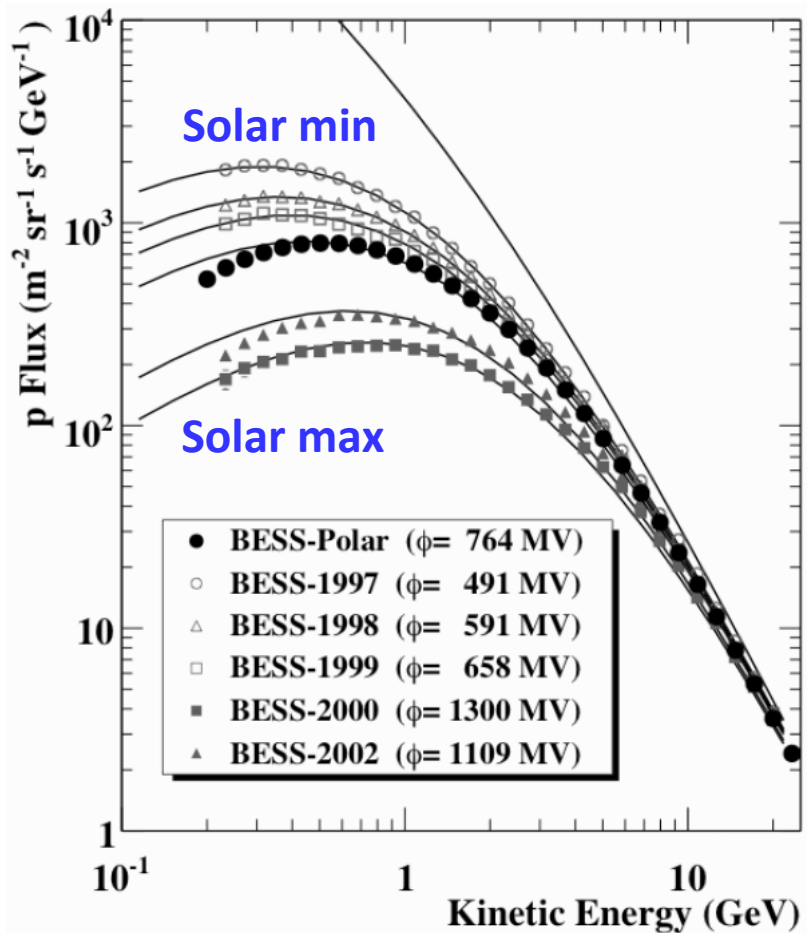
(・宇宙線が気候システムに及ぼす変動のトレース

・気象への影響

の両観点から)

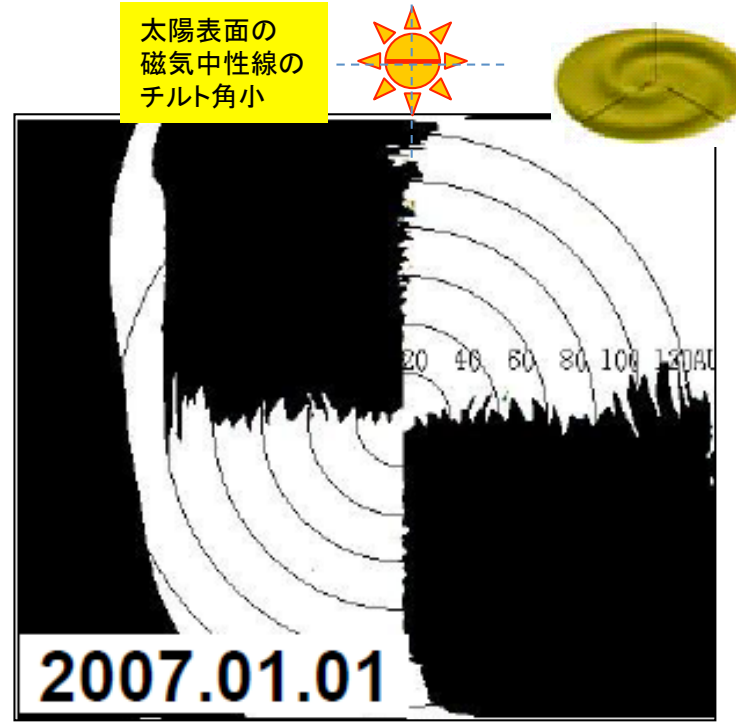
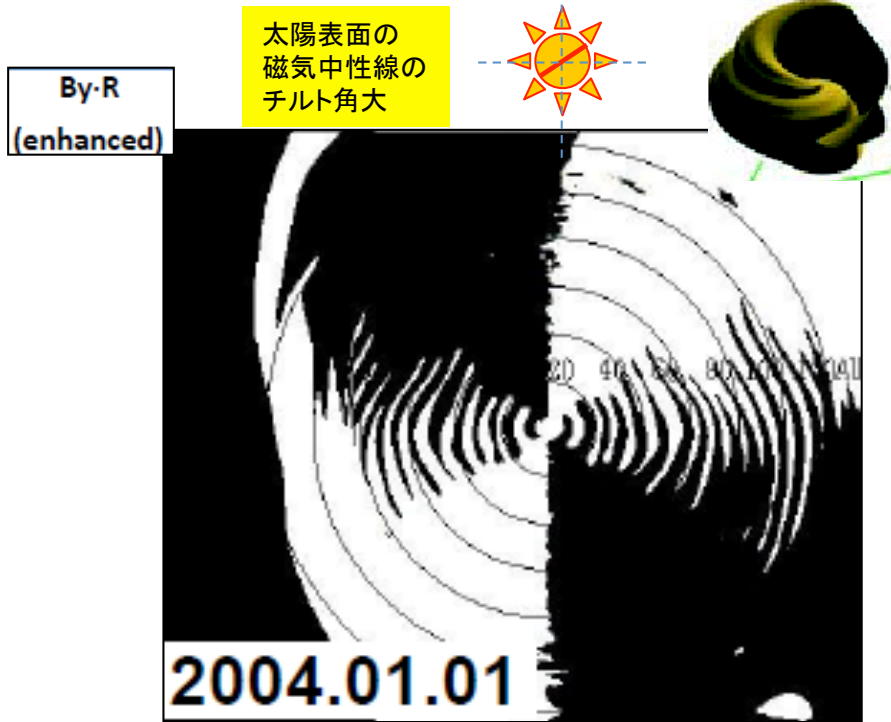
Solar modulation of Galactic Cosmic Rays (GCRs)

- Charged particles (mainly protons)
- Accelerated at supernova remnant

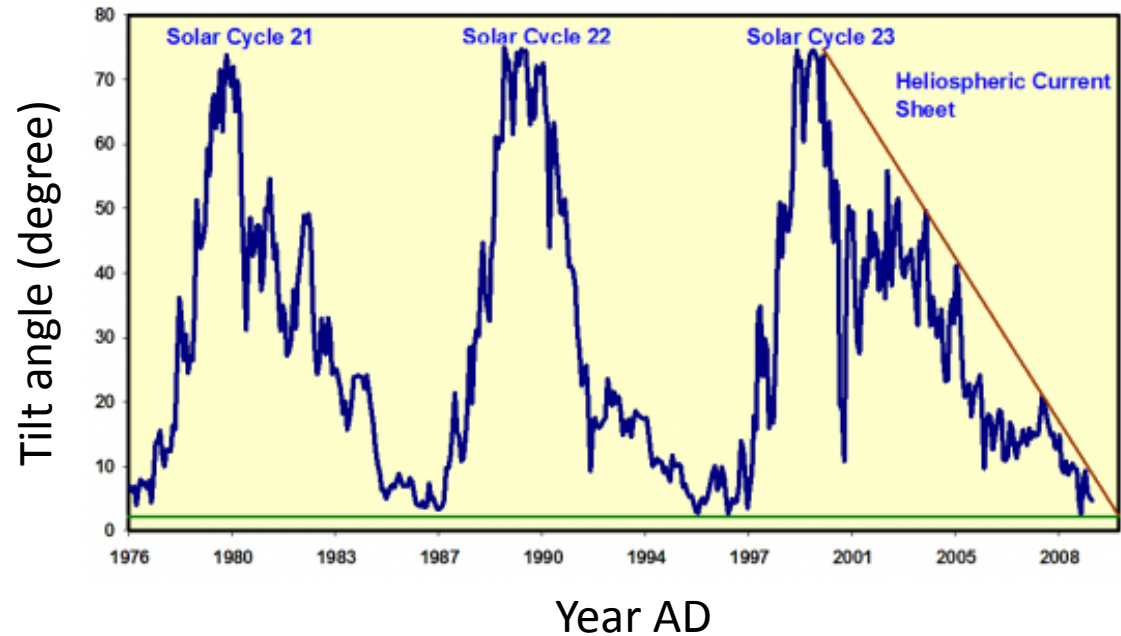
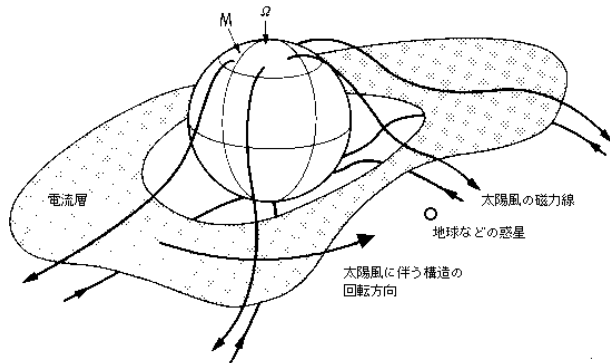


- diffusion
- advection by solar wind
- drift ($B \times \nabla B$ ドリフト)

Large scale structure of Heliospheric magnetic field

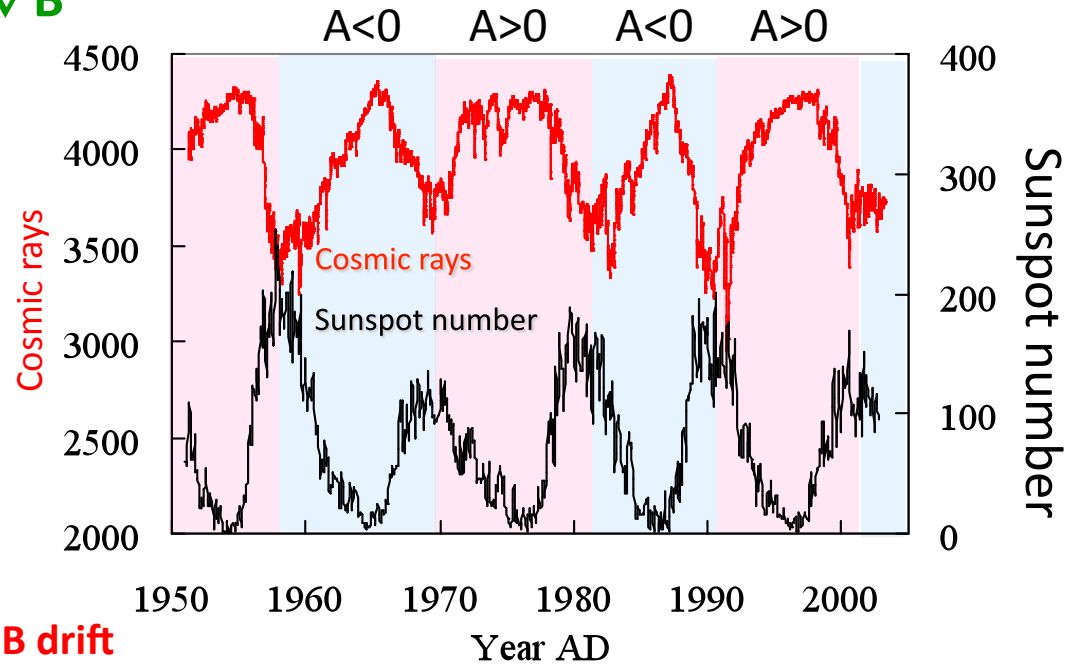
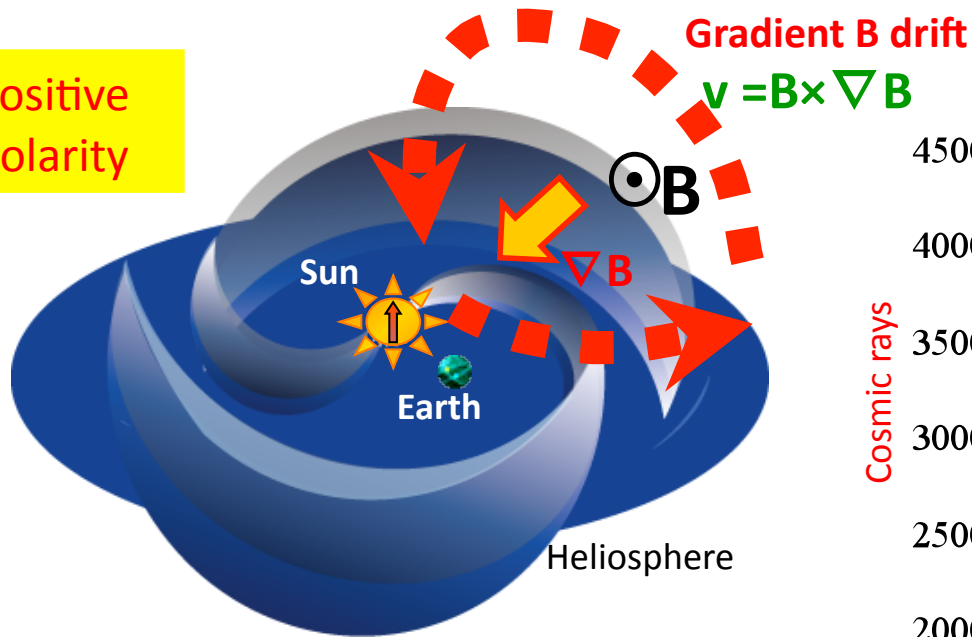


(based on Washimi et al)

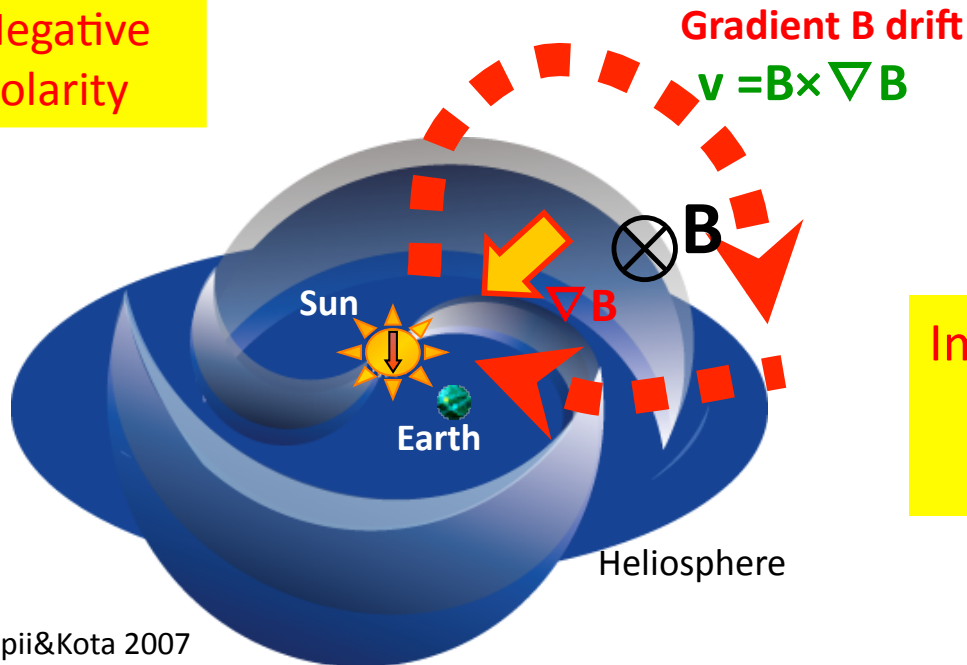


Cosmic ray variation & Solar magnetic polarity

Positive polarity



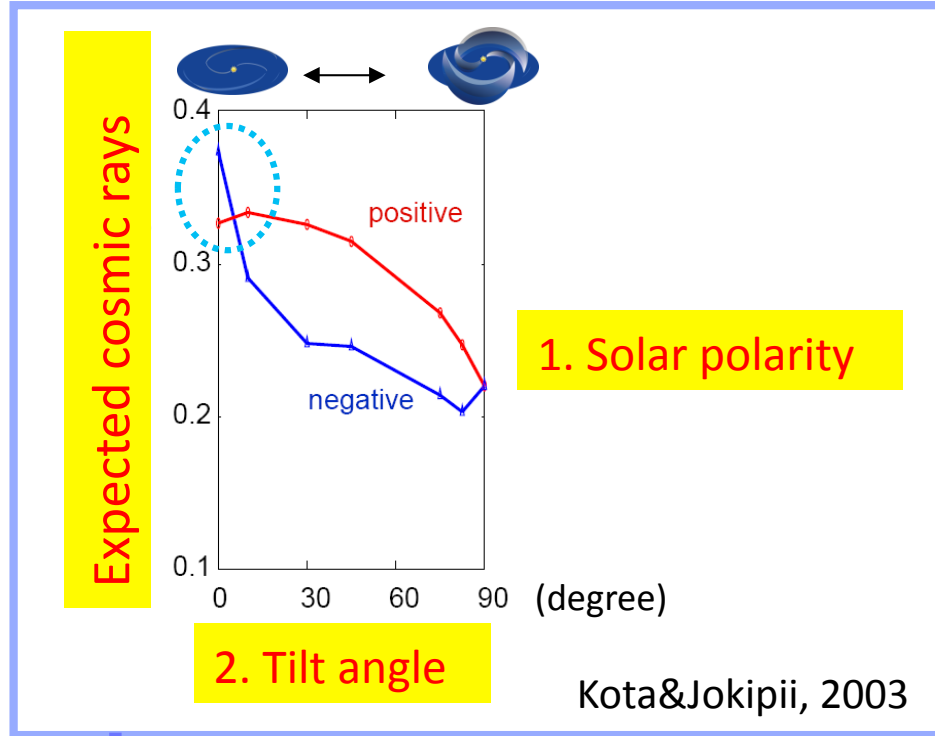
Negative polarity



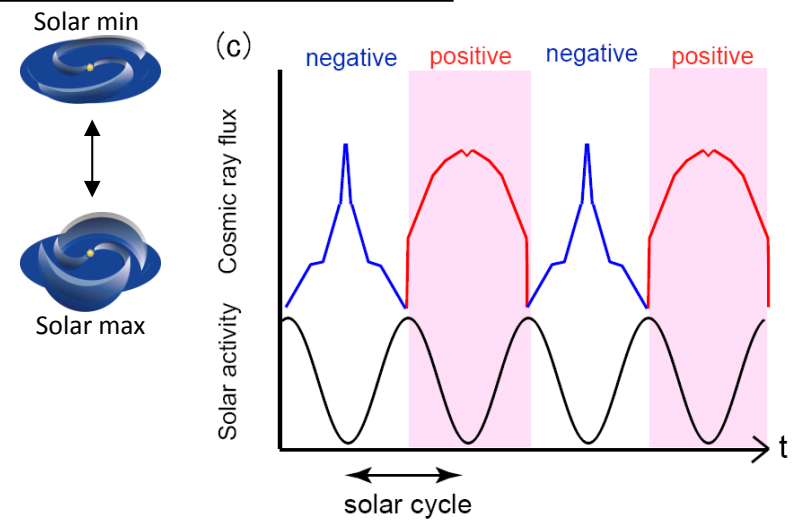
- Important parameters for solar modulation
- solar dipole magnetic polarity
 - tilt angle of heliospheric current sheet

Variable "22-year" variation of cosmic rays

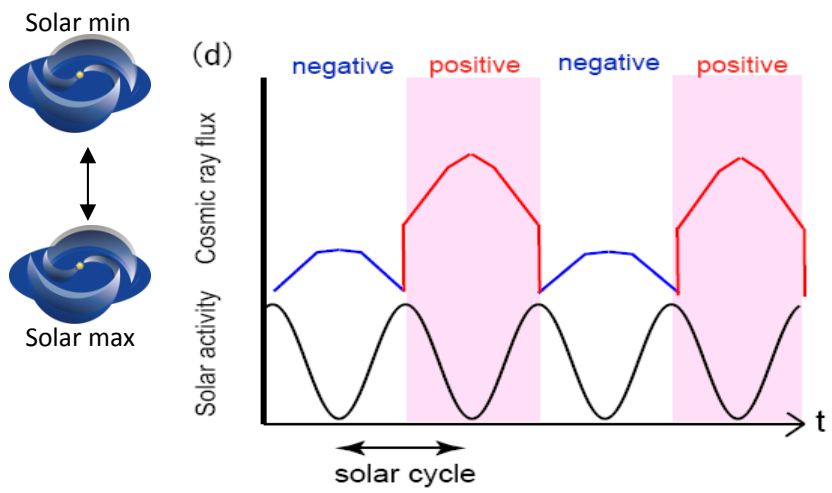
Miyahara et al., 2009



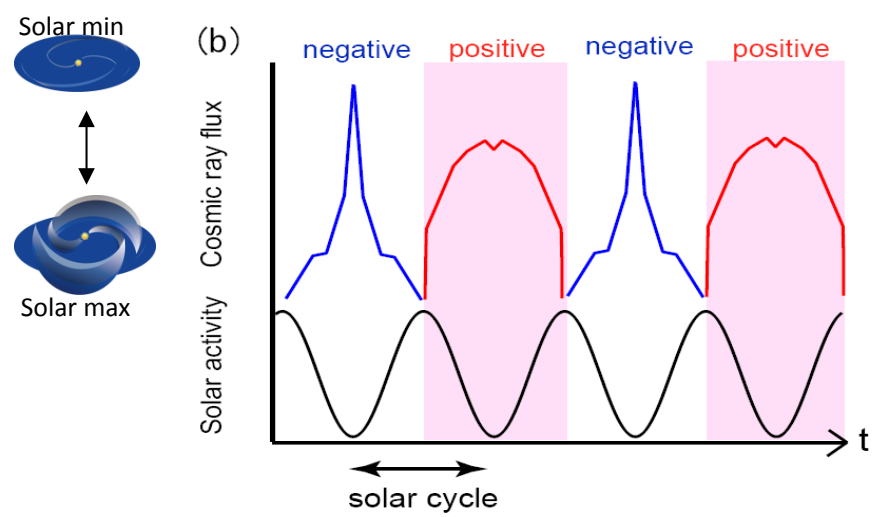
Modern: 5-75 degrees



If 30-75 degrees



If 0-75 degrees



Production of cosmogenic nuclides: ^{14}C and ^{10}Be

Galactic cosmic rays



Attenuation by solar/geo-magnetic field



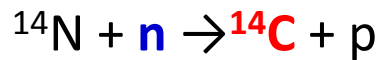
Air shower in the atmosphere



Secondary neutron



Spallation

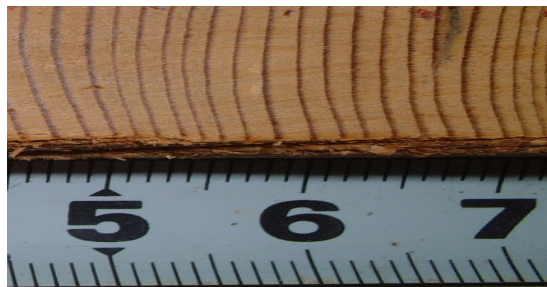


Atmospheric circulation



Photo-synthesis

Tree ring



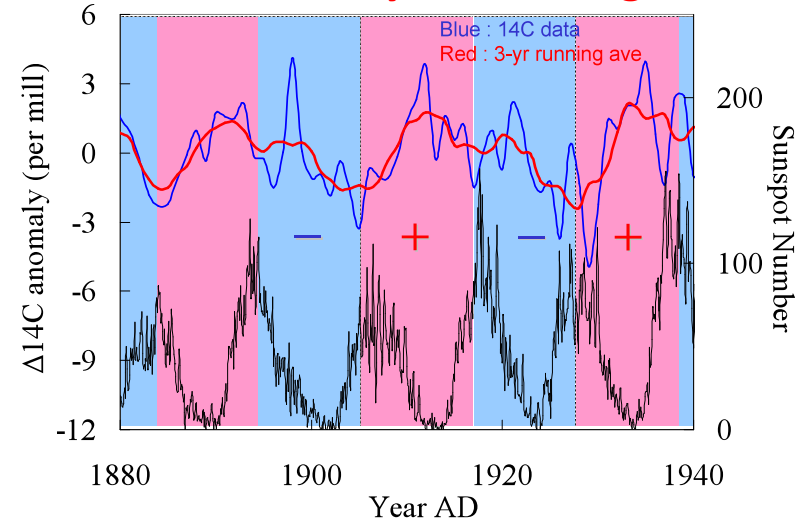
^{10}Be etc.



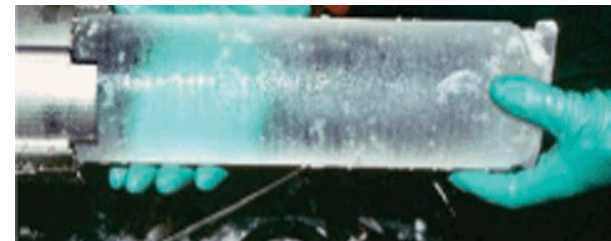
Precipitation

Antarctic/Greenland Ice sheets

^{14}C anomaly in tree rings



3-yrs of lag in carbon cycle is corrected



Clear signal
A few years of dating error

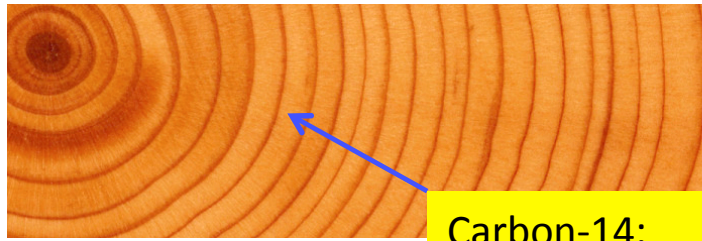
Absolute age
Strongly attenuated signal

Accelerator Mass Spectrometer

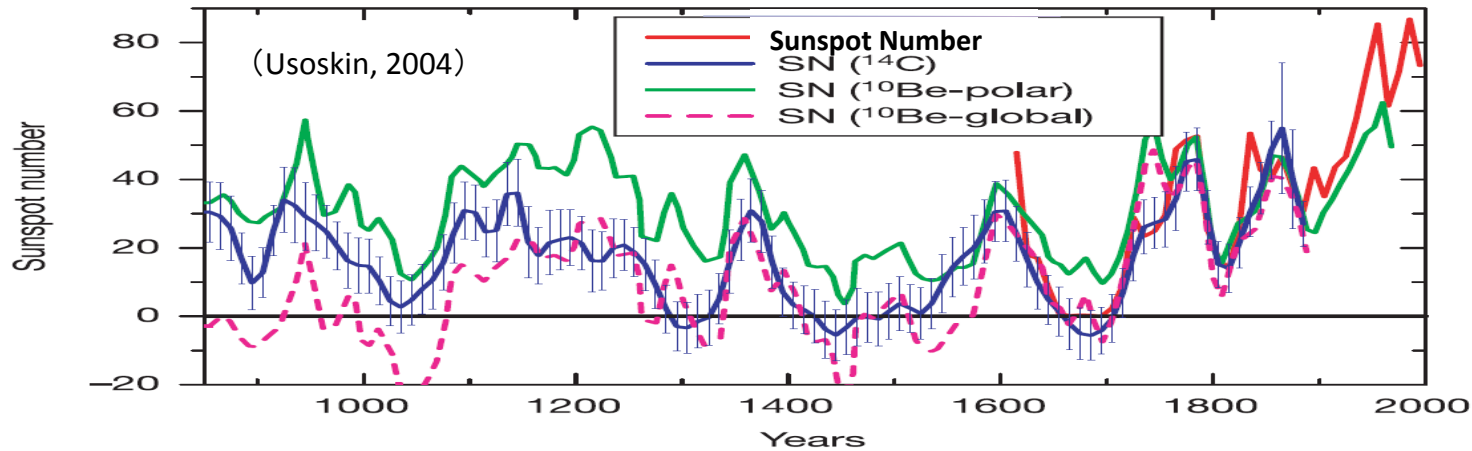
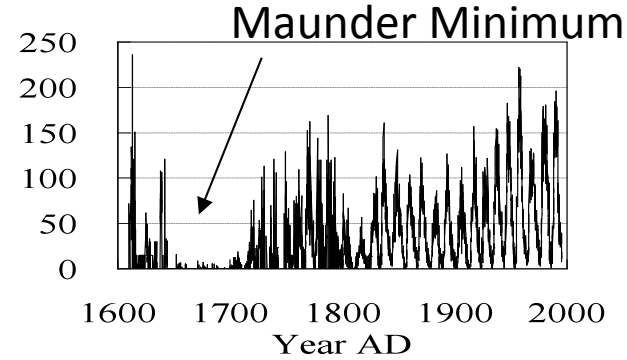
山形大学ホームページより



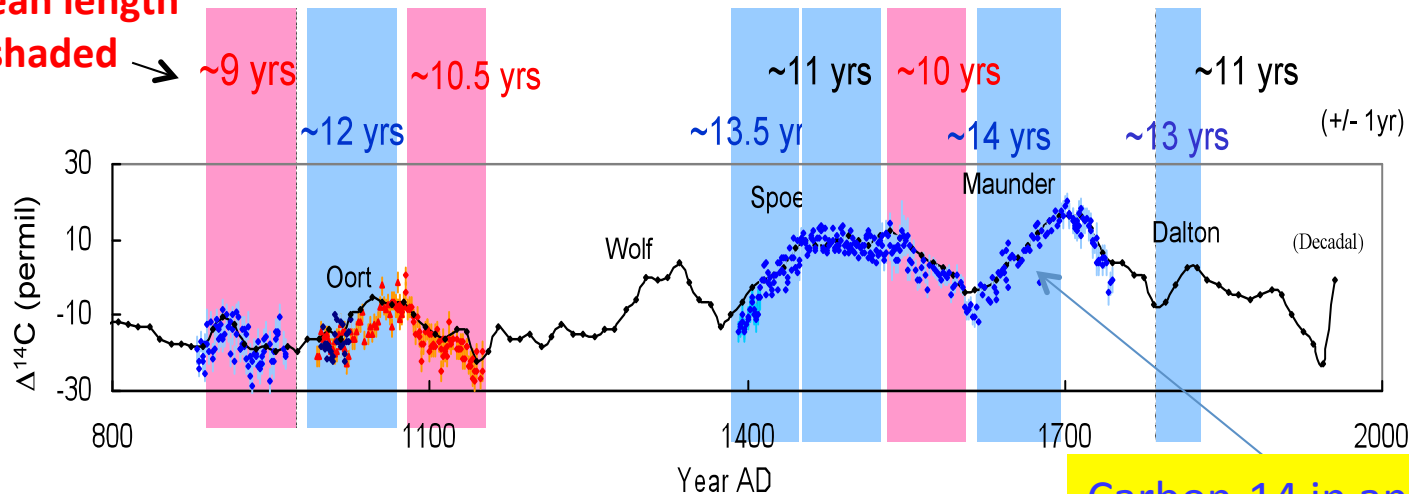
Reconstructed solar decadal cycles in the past



Carbon-14:
(Cosmogenic nuclide)



Actual mean length
over the shaded
period

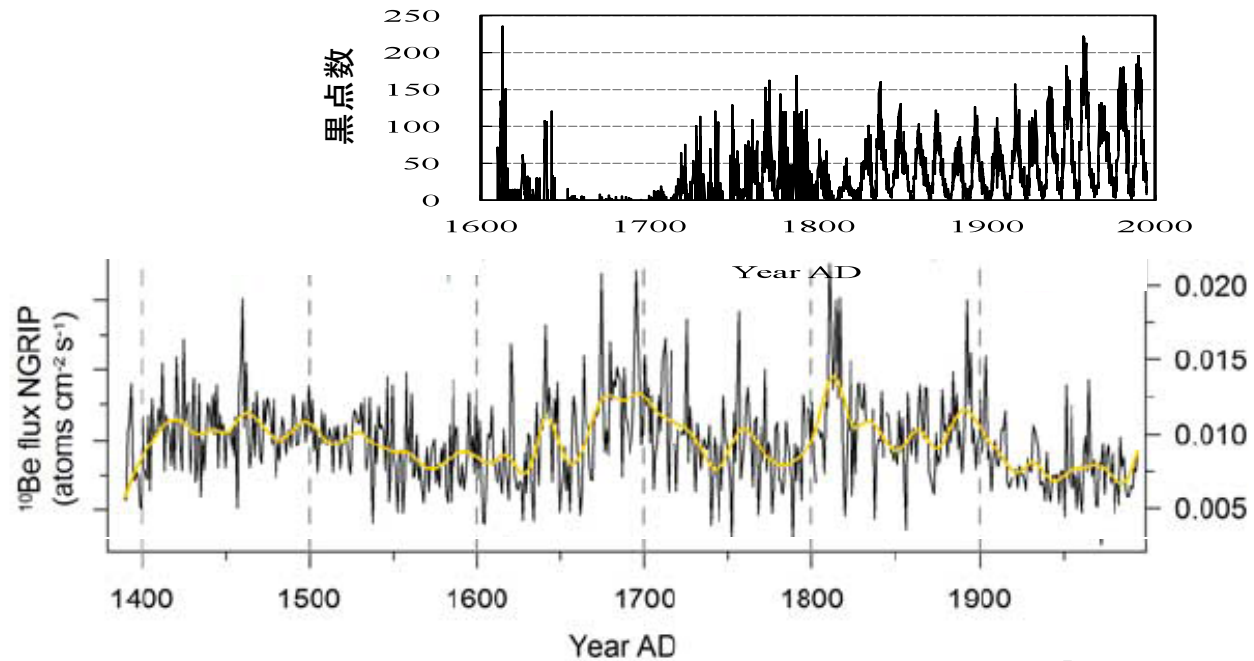


Decadal:
Stuiver et al., 1998

Annual:
Miyahara et al.,
2004, 2006,
2007, 2008

Carbon-14 in annual tree rings

グリーンランド氷床コア中のベリリウム10(宇宙線生成核種)から読み取る マウンダー極小期の宇宙線フラックス変動



Berggren et al., 2009

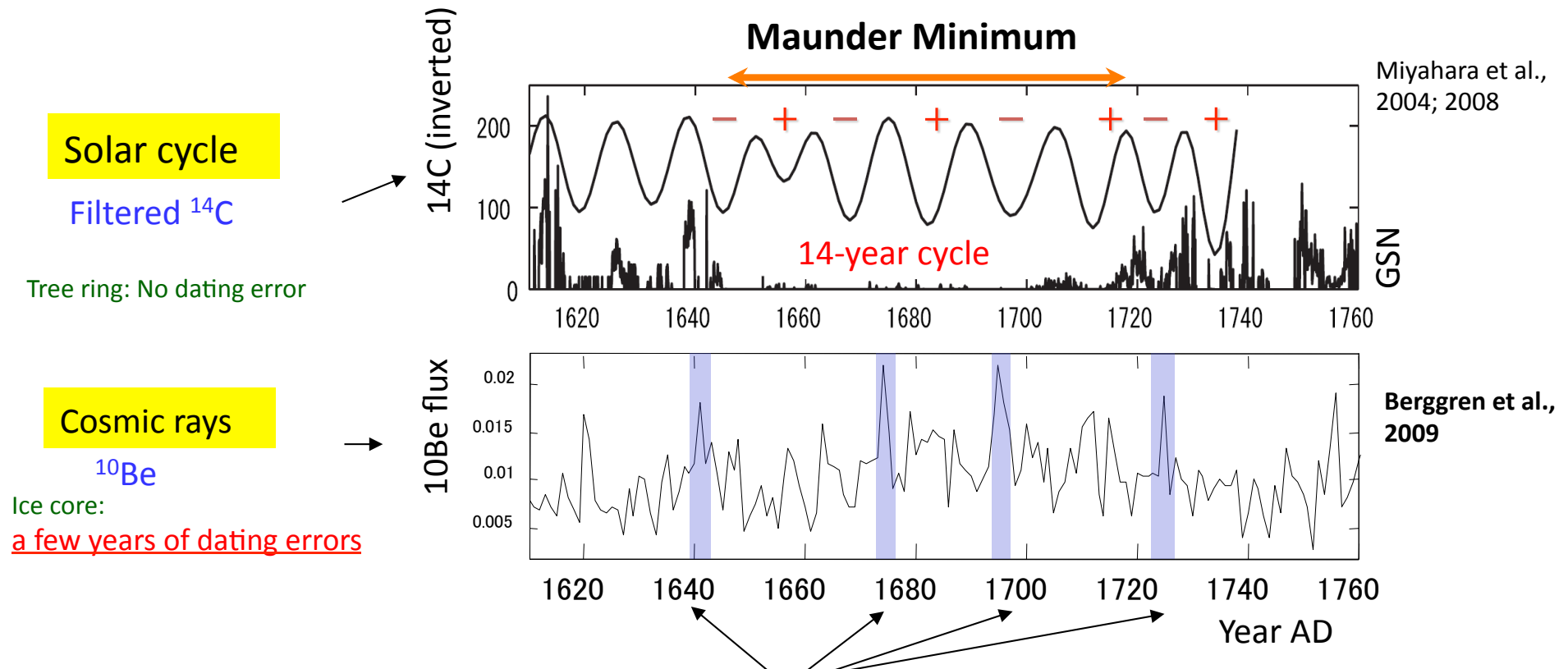
シュペーラー
極小期
(無黒点期)

マウンダー
極小期

ダルトン
極小期

Cosmic-ray “22-year (28-year)” variation at the Maunder Minimum

Miyahara et al., IAU proc., 2009, Yamaguchi et al., PNAS, 2010



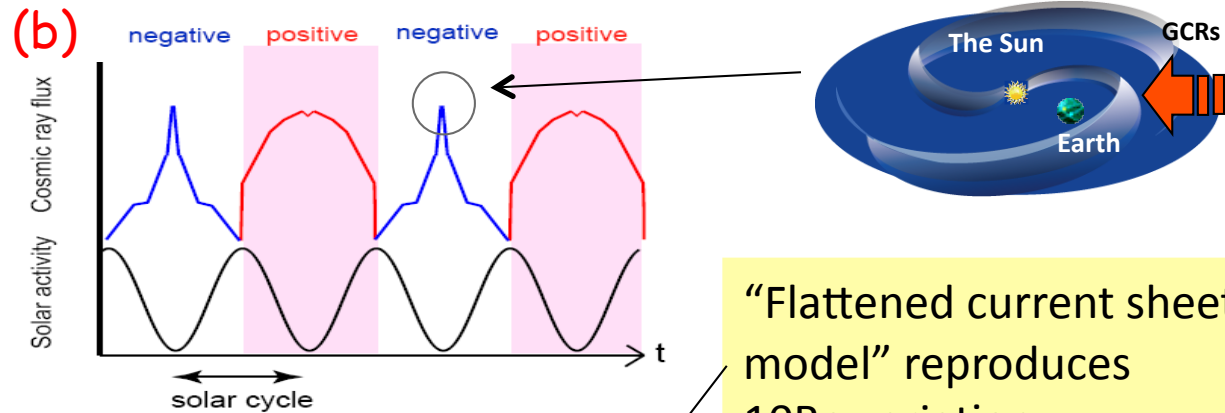
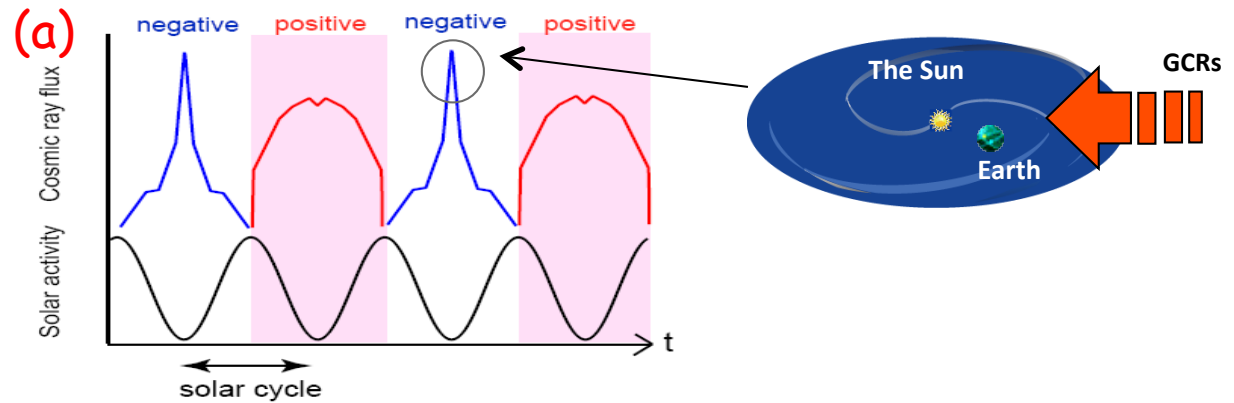
- Periodic cosmic ray enhancements, only for negative polarity (~28-year period)
- **1-year scale enhancement, 30-50% higher than the peak for positive polarity**
- Significant manifestation of drift effect of cosmic rays in the heliosphere

Pattern of cosmic ray variation at the Maunder Minimum and present

Miyahara et al., 2009

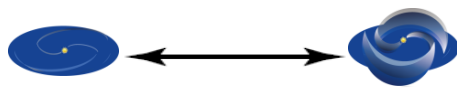
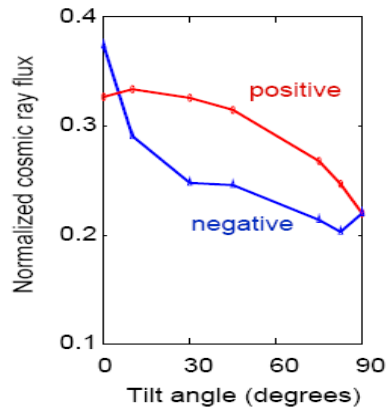
Based on
Kota&Jokipii, 1983; 2003

- (a) 0 deg. at cycle min
- (b) 5 degs. at cycle min

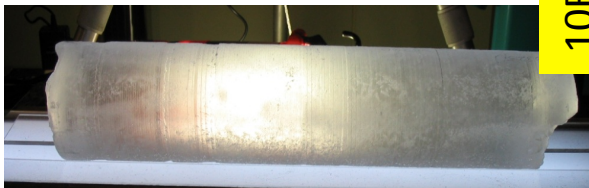
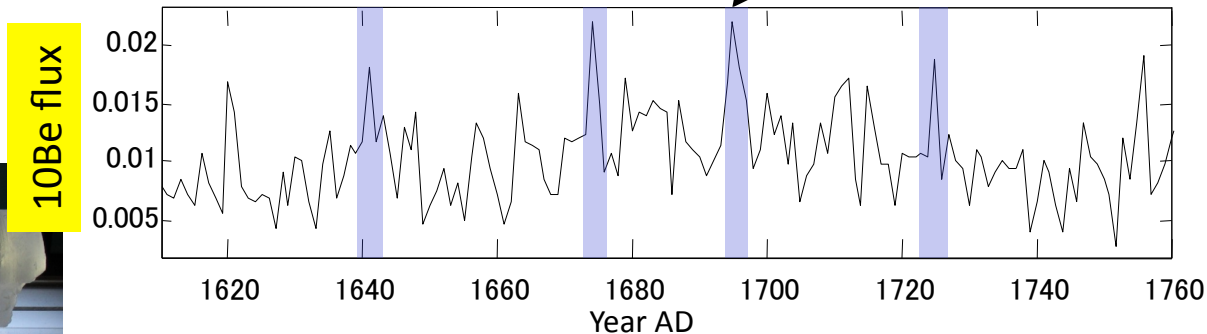


“Flattened current sheet model” reproduces 10Be variation

Berggren et al., 2009



Heliospheric
Magnetic field



10Be flux

What ^{14}C and ^{10}Be suggests for the Maunder Minimum

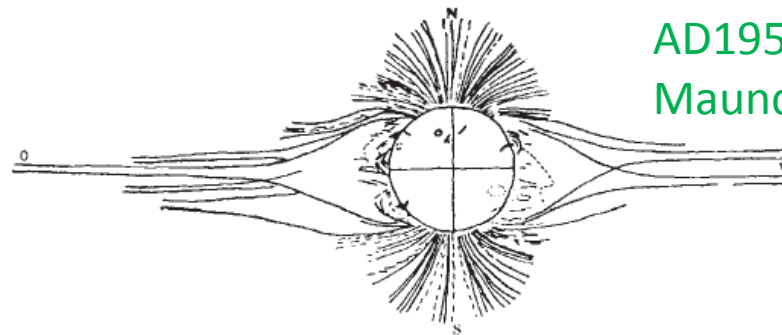
Solar Cycle length : ~ 14 years

Magnetic polarity reversal : YES (~ 28 -year period)

Onset : two preceding 12-13 year cycles

Cosmic ray variations : Strong 22-year component

Heliospheric current sheet : More flattened



AD1954 case: stronger polar field

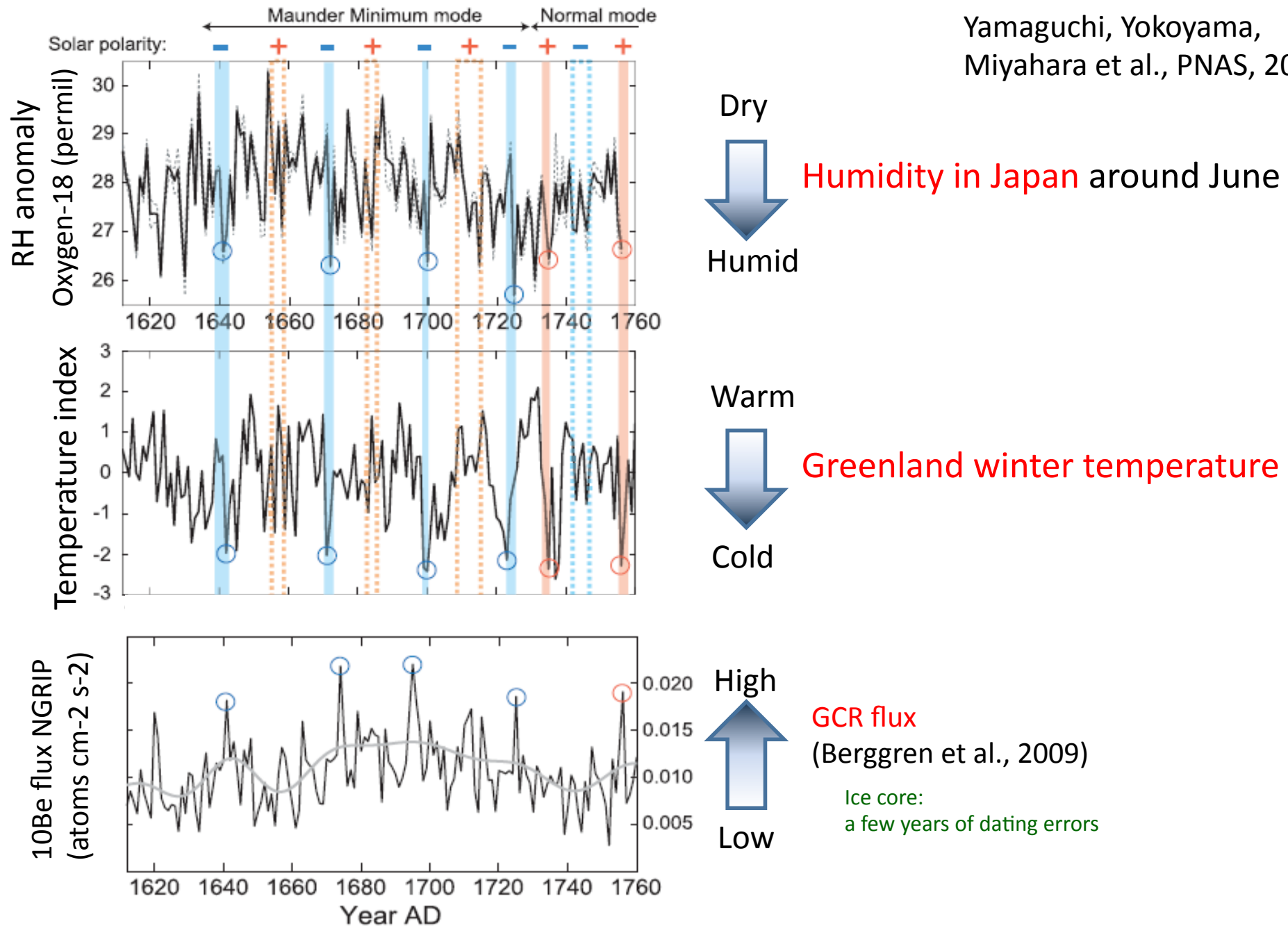
Maunder Min: weaker equatorial field

Fig. 2 The structure of a sunspot minimum solar corona drawn from eclipse photographs¹¹ (June 30, 1954) obtained in Kozeletsk.

Any impact on climate?

Climate response to cosmic-ray spikes during the Maunder Minimum

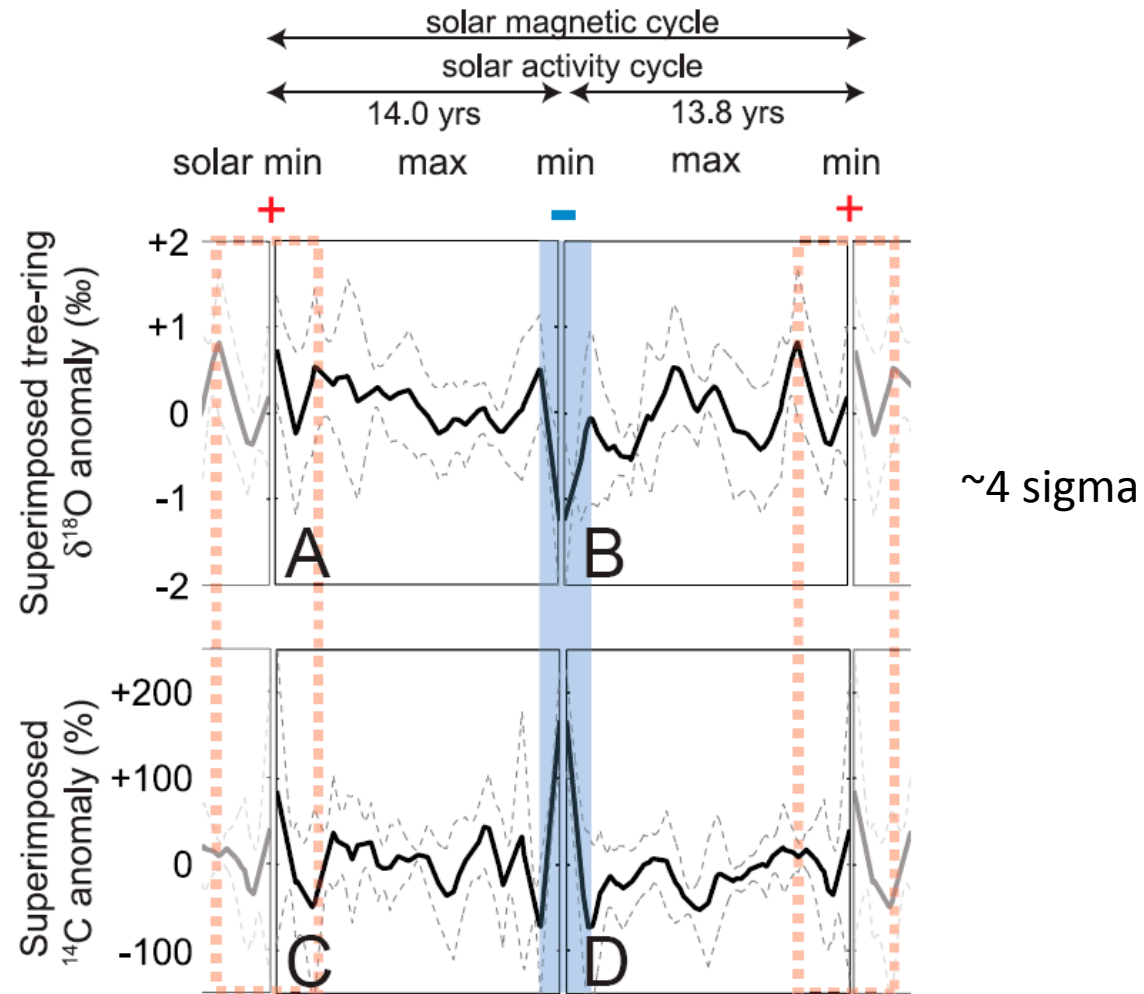
Yamaguchi, Yokoyama,
Miyahara et al., PNAS, 2010



Superposition of four 1-year spikes for ^{14}C (GCR) and ^{18}O (climate)

Relative Humidity anomaly reconstructed from tree rings

Tree ring ^{14}C anomaly

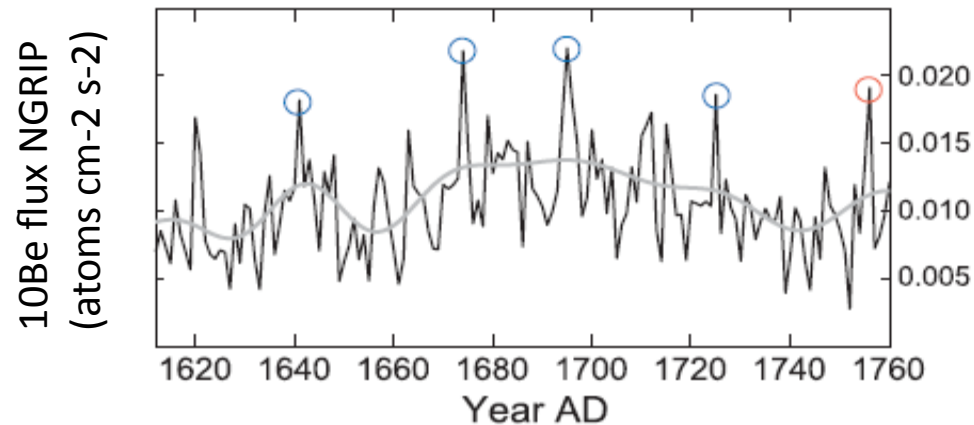


No time lag!

課題 : 宇宙線スパイクをトレーサーとした 全球気候応答マッピング

(1642年付近、1671年付近、1700年付近、1724年付近の計4イベント)
→ 樹木年輪中炭素14濃度の超高精度分析で絶対年代決定

気温と降水の両方のマッピングにより、
宇宙線に対する気候システムの複雑な応答の理解につなげたい



- ・降水の増減の地域性
- ・北半球(グリーンランド、日本)の気候変動の同期

まとめ

- ・太陽圏システムとして地球気候、気象を捉えなおすことで気候の未解明の振動に関する理解が深まる可能性
- ・太陽活動、磁場極性、太陽圏磁場構造、周期性などの変化について理解をより一層深め予測手法を確立する必要性

詳細な雲物理の解明については、雲の高度分布・粒径分布観測や室内実験に期待